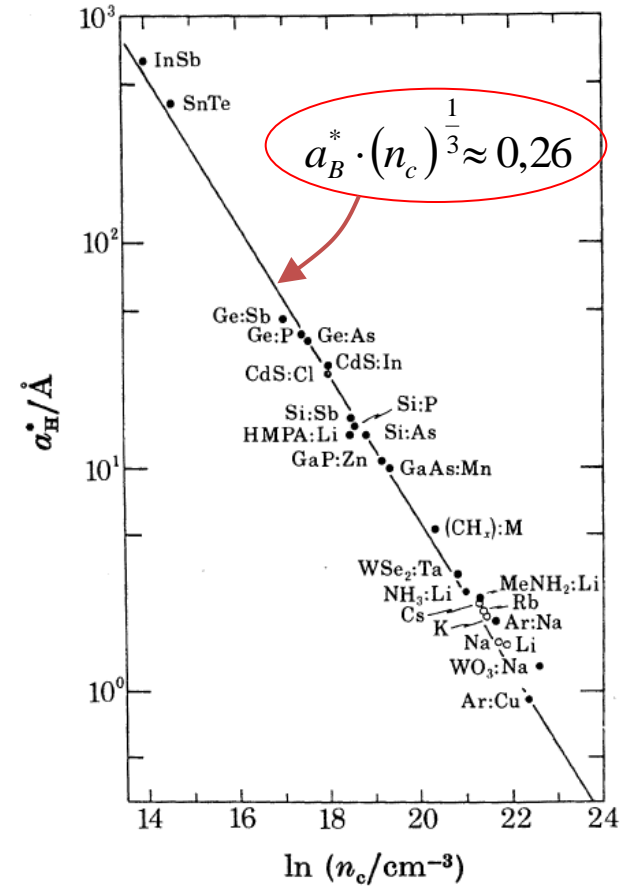
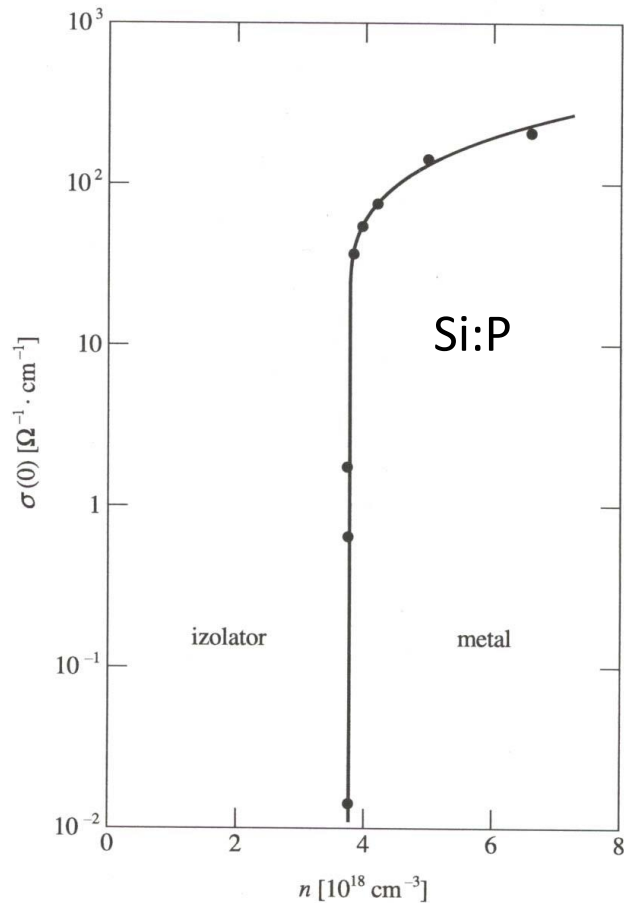


„Fizyka materii skondensowanej i struktur półprzewodnikowych” (1101-4FS22)

Tomasz Kazimierczuk

Zakład Fizyki Ciała Stałego
Instytut Fizyki Doświadczalnej
Wydział Fizyki
Uniwersytet Warszawski

Obsadzenie poziomów domieszkowych

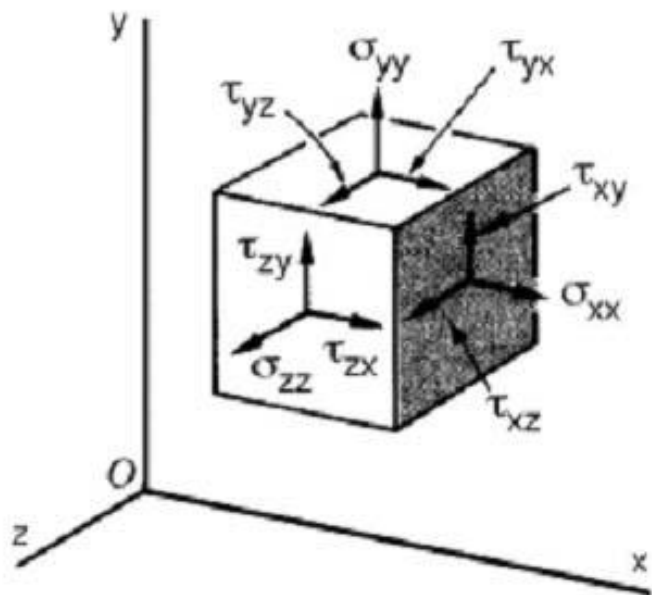


P.P. Edwards, M.J. Sienko, *J. Am. Chem. Soc.* **103**, 2967 (1981)

WŁAŚCIWOŚCI SPRĘŻYSTE CIAŁ STAŁYCH

Własności sprężyste ciał stałych – tensor naprężeń

Tensor naprężeń σ_{ij}



- naprężenie – siła na jednostkę powierzchni
- symetryczny
 \Downarrow
- 3 naprężenia osiowe $\sigma_{xx}, \sigma_{yy}, \sigma_{zz}$,
 3 ścinania $\sigma_{xy} = \sigma_{yx}, \sigma_{xz} = \sigma_{zx}, \sigma_{yz} = \sigma_{zy}$
 (lub $\tau_{xy} = \tau_{yx}, \tau_{xz} = \tau_{zx}, \tau_{yz} = \tau_{zy}$)
- dla ciśnienia hydrostatycznego:

$$\sigma_{ij} = \begin{bmatrix} -p & 0 & 0 \\ 0 & -p & 0 \\ 0 & 0 & -p \end{bmatrix}$$

Własności sprężyste ciał stałych – tensor naprężeń

Notacja Voigta

$$\sigma_{ij} \rightarrow \begin{bmatrix} \sigma_1 & \sigma_6 & \sigma_5 \\ \sigma_6 & \sigma_2 & \sigma_4 \\ \sigma_5 & \sigma_4 & \sigma_3 \end{bmatrix} \rightarrow \begin{bmatrix} \sigma_1 \\ \sigma_2 \\ \sigma_3 \\ \sigma_4 \\ \sigma_5 \\ \sigma_6 \end{bmatrix}$$

zastępujemy tensor
drugiego rzędu
wektorem

konwencja:

$$11 \rightarrow 1; \quad 22 \rightarrow 2; \quad 33 \rightarrow 3; \quad 23 \rightarrow 4; \quad 13 \rightarrow 5; \quad 12 \rightarrow 6;$$

Własności sprężyste ciał stałych – tensor naprężeń

Tensor odkształceń (deformacji) ε_{ij}

$$\varepsilon_{ij} = \frac{1}{2} \left(\frac{\partial u_i}{\partial x_j} + \frac{\partial u_j}{\partial x_i} \right)$$

gdzie \vec{u} – wektor przemieszczenia
wywołany deformacją

$$\varepsilon_{ij} \rightarrow \begin{bmatrix} \varepsilon_1 & 1/2 \cdot \varepsilon_6 & 1/2 \cdot \varepsilon_5 \\ 1/2 \cdot \varepsilon_6 & \varepsilon_2 & 1/2 \cdot \varepsilon_4 \\ 1/2 \cdot \varepsilon_5 & 1/2 \cdot \varepsilon_4 & \varepsilon_3 \end{bmatrix} \rightarrow \begin{bmatrix} \varepsilon_1 \\ \varepsilon_2 \\ \varepsilon_3 \\ \varepsilon_4 \\ \varepsilon_5 \\ \varepsilon_6 \end{bmatrix}$$

znowu zastępujemy
tensor drugiego rzędu
wektorem (*uwaga na 1/2
w definicji !*)

Własności sprężyste ciał stałych – liniowa teoria sprężystości

Liniowa teoria sprężystości (prawo Hooke'a)

- Tensory naprężeń i odkształceń są powiązane relacjami liniowymi (stosujemy konwencję sumowania po powtarzających się wskaźnikach):

$$\varepsilon_{kl} = S_{klij} \sigma_{ij} \quad \text{lub:} \quad \sigma_{kl} = C_{klij} \varepsilon_{ij}$$

gdzie S_{klij} i C_{klij} są tensorami 4 rzędu – odpowiednio: tensor podatności sprężystej i tensor sztywności sprężystej (tensor modułów sprężystości)

- Ponieważ σ_{ij} i ε_{ij} są symetryczne, to: $C_{klij} = C_{lkij} = C_{klji}$ (podobnie dla S_{klij})
- Żądanie jednoznaczności gęstości energii sprężystej:

$$u = \frac{1}{2} C_{klij} \varepsilon_{kl} \varepsilon_{ij}$$

prowadzi do: $C_{klij} = C_{ijkl}$



C_{klij} i S_{klij} mają co najwyżej po 21 niezależnych współczynników

Własności sprężyste ciał stałych – macierze sprężystości

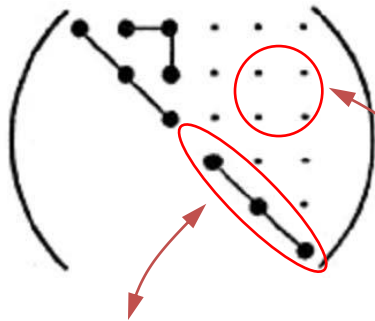
- Stosując konsekwentnie notację Voigta otrzymujemy:

$$\varepsilon_i = S_{ij} \sigma_j \qquad \sigma_i = C_{ij} \varepsilon_j$$

gdzie σ_i i ε_i są 6-wymiarowymi wektorami odpowiednio naprężeń i odkształceń, zaś S_{ij} i C_{ij} są macierzami 6x6 odpowiednio współczynników podatności sprężystej i modułów sprężystości (współczynników sztywności)

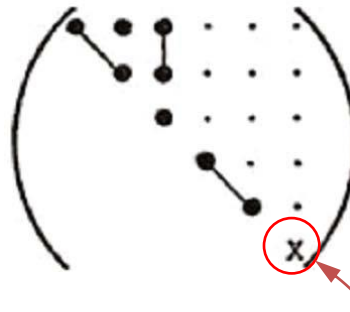
- Macierze sprężystości S_{ij} i C_{ij} :

struktura kubiczna (3)



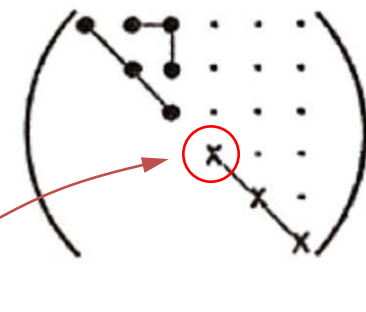
współczynniki jednakowe

struktura heksagonalna (5)



zera

ciało izotropowe (2)



równe odpowiednio $2(S_{11}-S_{12})$ lub $\frac{1}{2}(C_{11}-C_{12})$

Własności sprężyste ciał stałych – macierze sprężystości

- W ogólności współczynniki macierzy S_{ij} i C_{ij} można wyrazić przez siebie poprzez odwrócenie macierzy

- Dla struktury regularnej:

$$\begin{cases} C_{44} = S_{44}^{-1} \\ C_{11} - C_{12} = (S_{11} - S_{12})^{-1} \\ C_{11} + 2C_{12} = (S_{11} + 2S_{12})^{-1} \end{cases}$$

- Ścisłość dla struktury regularnej.** Ciśnienie hydrostatyczne:

$$\sigma_i = \begin{bmatrix} -p \\ -p \\ -p \\ 0 \\ 0 \\ 0 \end{bmatrix} \Rightarrow \varepsilon_i = -p \cdot \begin{bmatrix} S_{11} + 2S_{12} \\ S_{11} + 2S_{12} \\ S_{11} + 2S_{12} \\ 0 \\ 0 \\ 0 \end{bmatrix} \Rightarrow \frac{\Delta V}{V} = -p \cdot 3(S_{11} + 2S_{12})$$

ściśłość:

$$\kappa = -\frac{1}{V} \cdot \left(\frac{\partial V}{\partial p} \right)_T = 3(S_{11} + 2S_{12})$$

moduł sprężystości objętościowej:

$$B = \kappa^{-1} = \frac{1}{3} (S_{11} + 2S_{12})^{-1}$$

Własności sprężyste ciał stałych – macierze sprężystości

- Moduł Younga E i współczynnik Poissona ν dla struktury regularnej.*

Napężenie osiowe:

$$\sigma_i = \begin{bmatrix} \sigma_1 \\ 0 \\ 0 \\ 0 \\ 0 \\ 0 \end{bmatrix} \Rightarrow \varepsilon_i = \sigma_1 \cdot \begin{bmatrix} S_{11} \\ S_{12} \\ S_{12} \\ 0 \\ 0 \\ 0 \end{bmatrix} \Rightarrow \begin{aligned} \varepsilon_1 &= \sigma_1 \cdot S_{11} = \frac{\sigma_1}{E} \\ \varepsilon_2 &= \varepsilon_3 = \sigma_1 \cdot S_{12} = -\nu \cdot \varepsilon_1 \end{aligned}$$

\Downarrow

moduł Younga:

$$E = \frac{1}{S_{11}}$$

współczynnik Poissona:

$$\nu = -\frac{S_{12}}{S_{11}}$$

Własności sprężyste ciał stałych – macierze sprężystości

- Moduł ścinania G dla struktury regularnej.** Naprężenie ścinające:

$$\sigma_i = \begin{bmatrix} 0 \\ 0 \\ 0 \\ 0 \\ 0 \\ \sigma_6 \end{bmatrix} \Rightarrow \varepsilon_i = \sigma_6 \cdot \begin{bmatrix} 0 \\ 0 \\ 0 \\ 0 \\ 0 \\ S_{44} \end{bmatrix} \Rightarrow \varepsilon_6 = \sigma_6 \cdot S_{44} = \frac{\sigma_6}{G}$$

moduł ścinania:

$$G = \frac{1}{S_{44}}$$

struktura regularna:

$E = \frac{1}{S_{11}}$	$\nu = -\frac{S_{12}}{S_{11}}$	$B = \kappa^{-1} = \frac{1}{3}(S_{11} + 2S_{12})^{-1} = \frac{E}{3(1-2\nu)}$	$G = \frac{1}{S_{44}}$
------------------------	--------------------------------	--	------------------------

ciało izotropowe:

$E = \frac{1}{S_{11}}$	$\nu = -\frac{S_{12}}{S_{11}}$	$B = \kappa^{-1} = \frac{1}{3}(S_{11} + 2S_{12})^{-1} = \frac{E}{3(1-2\nu)}$	$G = \frac{E}{2(1+\nu)}$
------------------------	--------------------------------	--	--------------------------

Własności sprężyste ciał stałych

Ciśnienia hydrostatyczne:

- zmieniają strukturę pasmową (energie stanów, a więc np. przerwy energetyczne, masy efektywne etc.)

Naprężenia osiowe, planarne etc.:

- mogą zmieniać symetrię, co prowadzi do rozszczepień stanów zdegenerowanych (np. pasm walencyjnych w strukturze diamentu i blendy cynkowej, bocznych minimów pasm przewodnictwa, stanów domieszkowych etc. etc.)

Potencjał deformacyjny:

- Zmiana energii danego stanu pod wpływem deformacji jest w przybliżeniu liniowym proporcjonalna do deformacji, np. zmiana energii ekstremum pasma pod wpływem deformacji zmieniającej objętość:

$$\delta E_{nk} = a_{nk} \left(\frac{\delta V}{V} \right)$$

podobnie dla innych deformacji, w tym ścinających

Własności sprężyste ciał stałych

– efekt piezoelektryczny

W kryształach bez środka inwersji naprężenia prowadzą do zjawisk piezoelektrycznych:

$$D_i = d_{ijk} \sigma_{jk} + \epsilon_{ij} E_j$$

Przyczynek od efektu piezoelektrycznego

\vec{D} – wektor indukcji elektrycznej
 \vec{E} – wektor natężenia pola elektr.
 ϵ_{ij} – tensor przenikalności elektr.

W notacji Voigta dla kryształu o strukturze wurcytu:

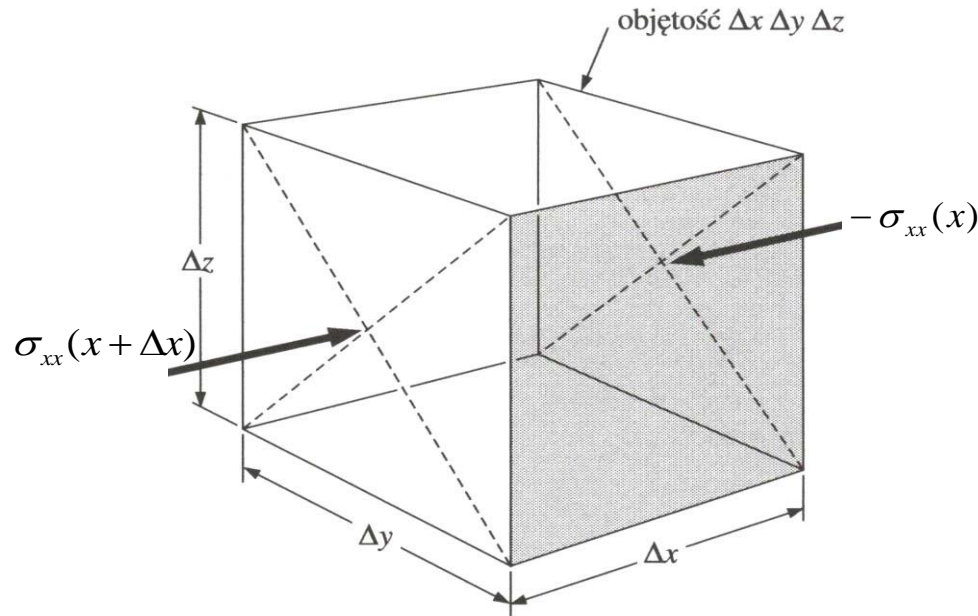
$$\begin{bmatrix} D_1 \\ D_2 \\ D_3 \end{bmatrix} = \begin{bmatrix} 0 & 0 & 0 & 0 & d_{15} & 0 \\ 0 & 0 & 0 & d_{24} & 0 & 0 \\ d_{31} & d_{32} & d_{33} & 0 & 0 & 0 \end{bmatrix} \cdot \begin{bmatrix} \sigma_1 \\ \sigma_2 \\ \sigma_3 \\ \sigma_4 \\ \sigma_5 \\ \sigma_6 \end{bmatrix} + \begin{bmatrix} \epsilon_{11} & 0 & 0 \\ 0 & \epsilon_{22} & 0 \\ 0 & 0 & \epsilon_{33} \end{bmatrix} \cdot \begin{bmatrix} E_1 \\ E_2 \\ E_3 \end{bmatrix}$$

Macierz współczynników piezoelektrycznych

FALE SPRĘŻYSTE W OŚRODKACH CIAĞŁYCH

Fale sprężyste w ośrodkach ciągłych

Spróbujmy napisać *równanie ruchu* dla kostki o wymiarach $\Delta x \cdot \Delta y \cdot \Delta z$



- x -owa składowa siły działającej na powierzchnie prostopadłe do osi x :

$$F_{xx} = [\sigma_{xx}(x + \Delta x) - \sigma_{xx}(x)] \cdot \Delta y \Delta z \approx \frac{\partial \sigma_{xx}(x)}{\partial x} \cdot \Delta x \Delta y \Delta z$$

Fale sprężyste w ośrodkach ciągłych

- analogicznie można napisać dla x-owych składowych sił działających na **pozostałe powierzchnie**, co prowadzi do wyrażenia na x-ową składową siły wypadkowej:

$$F_x = \left(\frac{\partial \sigma_{xx}(x)}{\partial x} + \frac{\partial \sigma_{yx}(x)}{\partial y} + \frac{\partial \sigma_{zx}(x)}{\partial z} \right) \cdot \Delta x \Delta y \Delta z$$

- Równanie ruchu na x-ową składową wektora wychylenia $\vec{u}(\vec{r}, t)$

$$\rho \frac{\partial^2 u_x}{\partial t^2} = \frac{\partial \sigma_{xx}}{\partial x} + \frac{\partial \sigma_{yx}}{\partial y} + \frac{\partial \sigma_{zx}}{\partial z} \quad \rho - \text{gęstość}$$

- Składowe tensora naprężeń σ_{ij} , w ramach liniowej teorii sprężystości dają się wyrazić przez składowe tensora odkształceń ε_{ij} (które z kolei są odpowiednimi pochodnymi wychyleń u_i):

$$\varepsilon_{ij} = \frac{1}{2} \left(\frac{\partial u_i}{\partial x_j} + \frac{\partial u_j}{\partial x_i} \right)$$

oraz macierz współczynników sztywności C_{ij}

Fale sprężyste w ośrodkach ciągłych

- Dla różnych kryształów otrzymane wzory będą się różniły; **dla kryształu kubicznego** otrzymuje się:

$$\rho \frac{\partial^2 u_x}{\partial t^2} = C_{11} \frac{\partial^2 u_x}{\partial x^2} + C_{44} \left(\frac{\partial^2 u_x}{\partial y^2} + \frac{\partial^2 u_x}{\partial z^2} \right) + (C_{12} + C_{44}) \left(\frac{\partial^2 u_y}{\partial x \partial y} + \frac{\partial^2 u_z}{\partial x \partial z} \right)$$

$$\rho \frac{\partial^2 u_y}{\partial t^2} = C_{11} \frac{\partial^2 u_y}{\partial y^2} + C_{44} \left(\frac{\partial^2 u_y}{\partial x^2} + \frac{\partial^2 u_y}{\partial z^2} \right) + (C_{12} + C_{44}) \left(\frac{\partial^2 u_x}{\partial x \partial y} + \frac{\partial^2 u_z}{\partial y \partial z} \right)$$

$$\rho \frac{\partial^2 u_z}{\partial t^2} = C_{11} \frac{\partial^2 u_z}{\partial z^2} + C_{44} \left(\frac{\partial^2 u_z}{\partial x^2} + \frac{\partial^2 u_z}{\partial y^2} \right) + (C_{12} + C_{44}) \left(\frac{\partial^2 u_x}{\partial x \partial z} + \frac{\partial^2 u_y}{\partial y \partial z} \right)$$

są to klasyczne równania falowe

Fale sprężyste w ośrodkach ciągłych

- **Fale rozchodzące się w kierunku [100]:** $\vec{u}(\vec{r}, t) = \vec{u}_0 e^{i(kx - \omega t)}$



$$\rho \frac{\partial^2 u_x}{\partial t^2} = C_{11} \frac{\partial^2 u_x}{\partial x^2}$$

$$\rho \frac{\partial^2 u_y}{\partial t^2} = C_{44} \frac{\partial^2 u_y}{\partial x^2}$$

$$\rho \frac{\partial^2 u_z}{\partial t^2} = C_{44} \frac{\partial^2 u_z}{\partial x^2}$$

– fala podłużna poruszająca się z prędkością $v_{\parallel} = \sqrt{\frac{C_{11}}{\rho}}$

– 2 zdegenerowane fale poprzeczne poruszające się z prędkością

$$v_{\perp} = \sqrt{\frac{C_{44}}{\rho}} < v_{\parallel}$$

prędkość fal poprzecznych jest mniejsza

Fale sprężyste w ośrodkach ciągłych

- **Fale rozchodzące się w kierunku [110]:** $\vec{u}(\vec{r}, t) = \vec{u}_0 e^{i\left(\frac{kx}{\sqrt{2}} + \frac{ky}{\sqrt{2}} - \omega t\right)}$



$$\left. \begin{aligned} \rho \frac{\partial^2 u_x}{\partial t^2} &= C_{11} \frac{\partial^2 u_x}{\partial x^2} + C_{44} \frac{\partial^2 u_x}{\partial y^2} + (C_{12} + C_{44}) \frac{\partial^2 u_y}{\partial x \partial y} \\ \rho \frac{\partial^2 u_y}{\partial t^2} &= C_{11} \frac{\partial^2 u_y}{\partial y^2} + C_{44} \frac{\partial^2 u_y}{\partial x^2} + (C_{12} + C_{44}) \frac{\partial^2 u_x}{\partial x \partial y} \\ \rho \frac{\partial^2 u_z}{\partial t^2} &= C_{44} \left(\frac{\partial^2 u_z}{\partial x^2} + \frac{\partial^2 u_z}{\partial y^2} \right) \end{aligned} \right\}$$

– fala podłużna poruszająca się z prędkością $v_{\parallel} = \sqrt{\frac{C_{11} + C_{12} + 2C_{44}}{2\rho}}$ oraz fala poprzeczna $\vec{u}_0 \parallel [1 \bar{1} 0]$ poruszająca się z prędkością

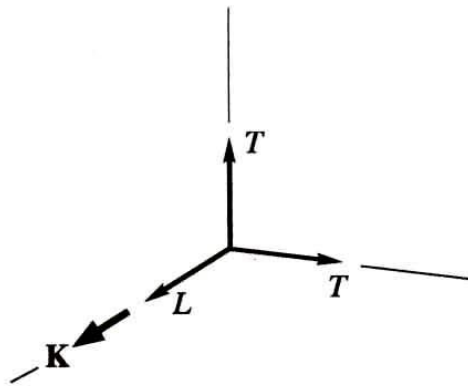
$$v_{1\perp} = \sqrt{\frac{C_{11} - C_{12}}{2\rho}}$$

fala poprzeczna $\vec{u}_0 \parallel [001]$ poruszająca się z prędkością

$$v_{2\perp} = \sqrt{\frac{C_{44}}{\rho}}$$

Wyznaczenie 3 prędkości fal rozchodzących się w kierunku [110] umożliwia wyznaczenie wszystkich współczynników C_{ij}

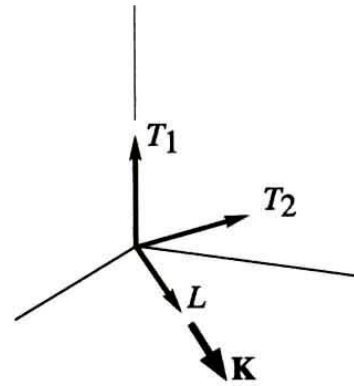
Fale sprężyste w ośrodkach ciągłych



fala w kierunku [100]

$$L : C_{11}$$

$$T : C_{44}$$

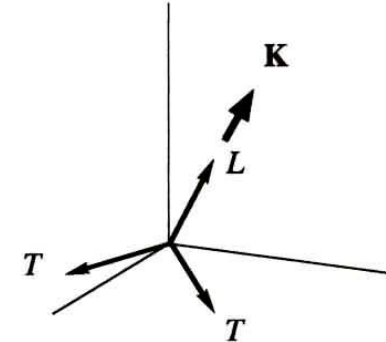


fala w kierunku [110]

$$L : \frac{1}{2} (C_{11} + C_{12} + 2C_{44})$$

$$T_1 : C_{44}$$

$$T_2 : \frac{1}{2} (C_{11} - C_{12})$$



fala w kierunku [111]

$$L : \frac{1}{3} (C_{11} + 2C_{12} + 4C_{44})$$

$$T : \frac{1}{3} (C_{11} - C_{12} + C_{44})$$

Rys. 20. Efektywne moduły sprężystości dla trzech rodzajów fal sprężystych, rozchodzących się wzdłuż trzech głównych kierunków w kryształach o strukturze regularnej. Dwie fale poprzeczne, które rozchodzą się w kierunkach [100] i [111], są zdegenerowane

Ch. Kittel, „Wstęp do fizyki ciała stałego”

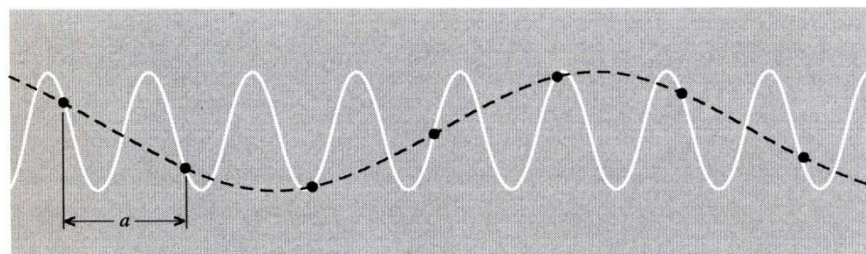
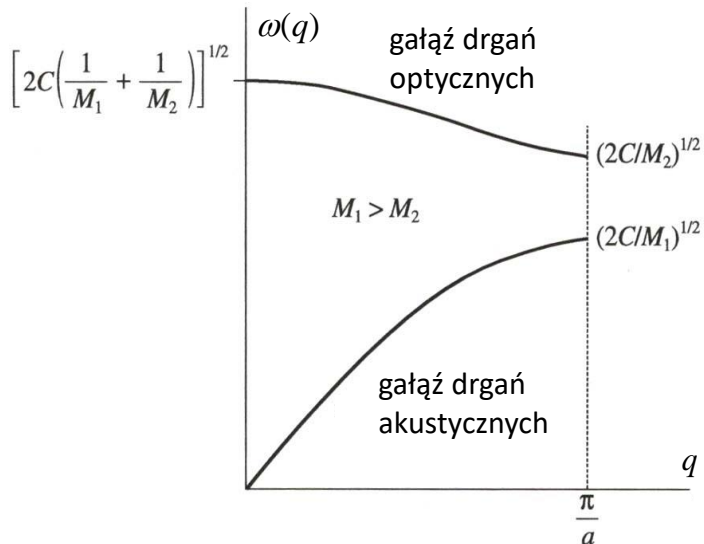
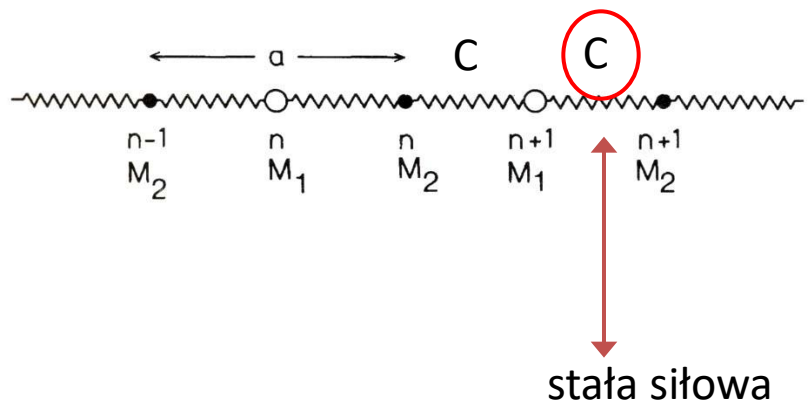
Fale sprężyste w ośrodkach ciągłych

- Dla każdego kierunku rozchodzenia się fali (wektora propagacji) istnieją 3 rodzaje fal – 1 „podłużna” i 2 „poprzeczne” z klasycznymi (liniowymi) relacjami dyspersyjnymi
- W ogólności wszystkie te fale mają różne prędkości
- Czasami fale poprzeczne są zdegenerowane (tzn. mają te same prędkości, a więc i takie same relacje dyspersyjne)
- Dla dowolnego kierunku propagacji fale *nie są ani ściśle podłużne, ani ściśle poprzeczne*

FONONY

Drgania sieci krystalicznej, fonony

Przypomnienie – ruch jednowymiarowego, nieskończonego łańcucha złożonego na przemian z różnych mas:



Rys. 5. Fala przedstawiona za pomocą linii ciągłej nie zawiera żadnych dodatkowych informacji w stosunku do fali przedstawionej za pomocą linii przerywanej. Do opisu ruchu cząstek potrzebne są tylko fale o długości większej niż $2a$

Ch. Kittel, „Wstęp do fizyki ciała stałego”

Drgania sieci krystalicznej, fonony

Fonony

1. $3rN$ drgań normalnych $\Rightarrow 3rN$ jednowymiarowych oscylatorów harmoniczných
2. kwantowanie oscylatorów \Rightarrow oscylatory „numerowane” numerem gałęzi s (jest ich $3r$) oraz wektorem falowym \vec{q} :

$$E_{osc} = \left(n_{s\vec{q}} + \frac{1}{2} \right) \cdot \hbar \omega_s(\vec{q})$$

3. kwant wzbudzenia danego oscylatora nazywamy **fononem** (kwazicząstka). Stan kwantowy fononu opisują liczby kwantowe s i \vec{q} . Dowolnie dużo fononów może obsadzać ten sam stan kwantowy (bo dany oscylator może być w dowolnie wysokim stanie kwantowym) \Rightarrow **fonon jest bozonem**:

$$E_{s\vec{q}} = \hbar \omega_s(\vec{q})$$

– energia fononu

$$\hbar \vec{q}$$

– kwazipęd fononu

Drgania sieci krystalicznej, fonony

4. w równowadze z termostatem o temperaturze T obsadzenie stanu fononowego (średnia liczba fononów w danym stanie fononowym):

$$\langle n_{s\vec{q}}(T) \rangle = \frac{1}{e^{\frac{\hbar\omega_s(\vec{q})}{kT}} - 1} \xrightarrow{T \rightarrow \infty} \left(\frac{kT}{\hbar\omega_s(\vec{q})} \right) \propto T$$

w wysokich temperaturach liczba fononów jest proporcjonalna do temperatury

5. gęstość stanów fononowych w przestrzeni wektora \vec{q} (patrz gęstość stanów elektronowych!) jest stała i wynosi (3D):

$$\rho(\vec{q}) = \frac{1}{(2\pi)^3}$$

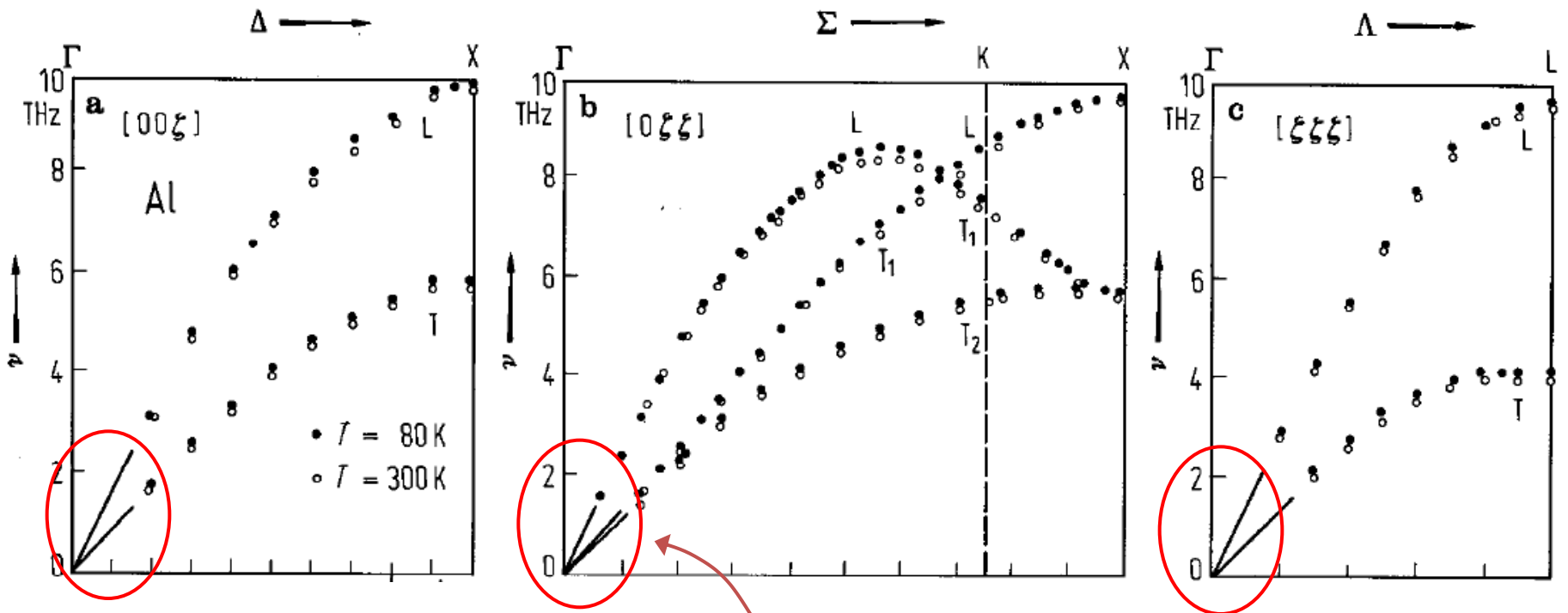
6. w kryształach z bazą składającą się z r atomów mamy **3** gałęzie fononów akustycznych, dla których $\omega(q=0) = 0$ (**1 „podłużnych” LA i 2 „poprzecznych” TA**) oraz **$3r-3$** gałęzi fononów optycznych, dla których $\omega(q=0) \neq 0$ (**$r-1$ „podłużnych” LO i $2r-2$ „poprzecznych” TO**)

Drgania sieci krystalicznej, fonony

7. fonony akustyczne w $\vec{q} = 0$ odpowiadają drganiom wszystkich r atomów bazy w zgodnych fazach (brak momentu dipolowego związanego z drganiami); w przypadku fononów optycznych, jeśli atomy bazy nie są jednakowe, takie momenty dipolowe się pojawiają – możliwe sprzężenie z falą elektromagnetyczną: dla kryształów jonowych silna absorpcja dla częstości odpowiadających fononom optycznym (Reststrahlen)
8. w ogólności (dla dowolnego \vec{q}) ani gałęzie „poprzeczne” ani „podłużne” nie odpowiadają ściśle drganiom poprzecznym i podłużnym (patrz ***fale sprężyste w ośrodkach ciągłych!***)
9. ***w przybliżeniu harmonicznym fonony są kwazicząstkami całkowicie ze sobą nieoddziałującymi***
10. ***wyście poza przybliżenie harmoniczne*** pozwala np. zrozumieć :
 - skąd się bierze rozszerzalność termiczna
 - dlaczego (fononowe) przewodnictwo cieplne jest skończone...

Drgania sieci krystalicznej, fonony

Aluminium, $r = 1$ (tylko fonony akustyczne)



1 THz \approx 4 meV

tak jak to było przewidziane przez model ośrodka ciągłego

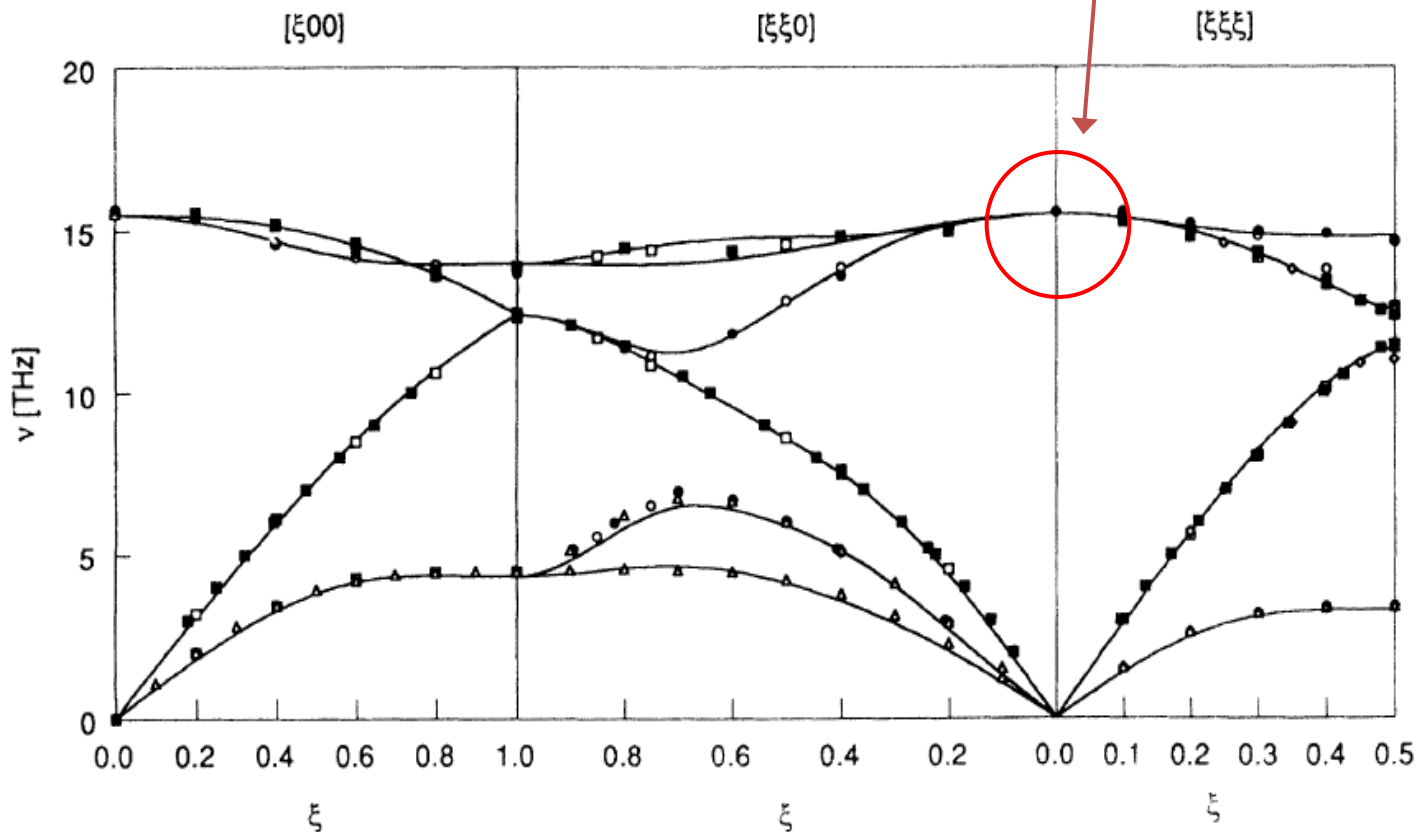
R. Stedman, G. Nilsson, *Physical Review* **145**, 492 (1966)

Drgania sieci krystalicznej, fonony

Krzem Si, $r = 2$

$$\omega_{LO} = \omega_{TO}$$

1 THz \approx 4 meV

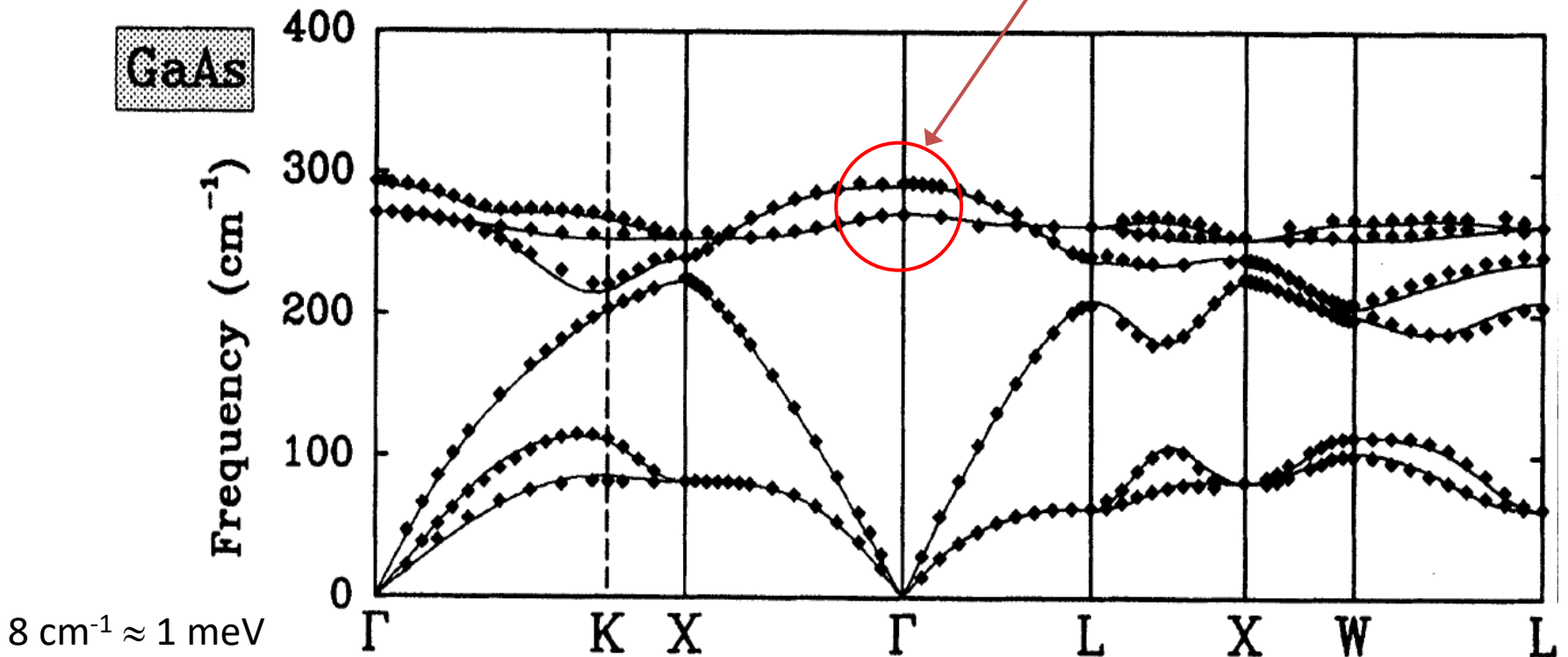


J. Kulda et al., *Physical Review B* **50**, 13347 (1994)

Drgania sieci krystalicznej, fonony

GaAs, $r = 2$

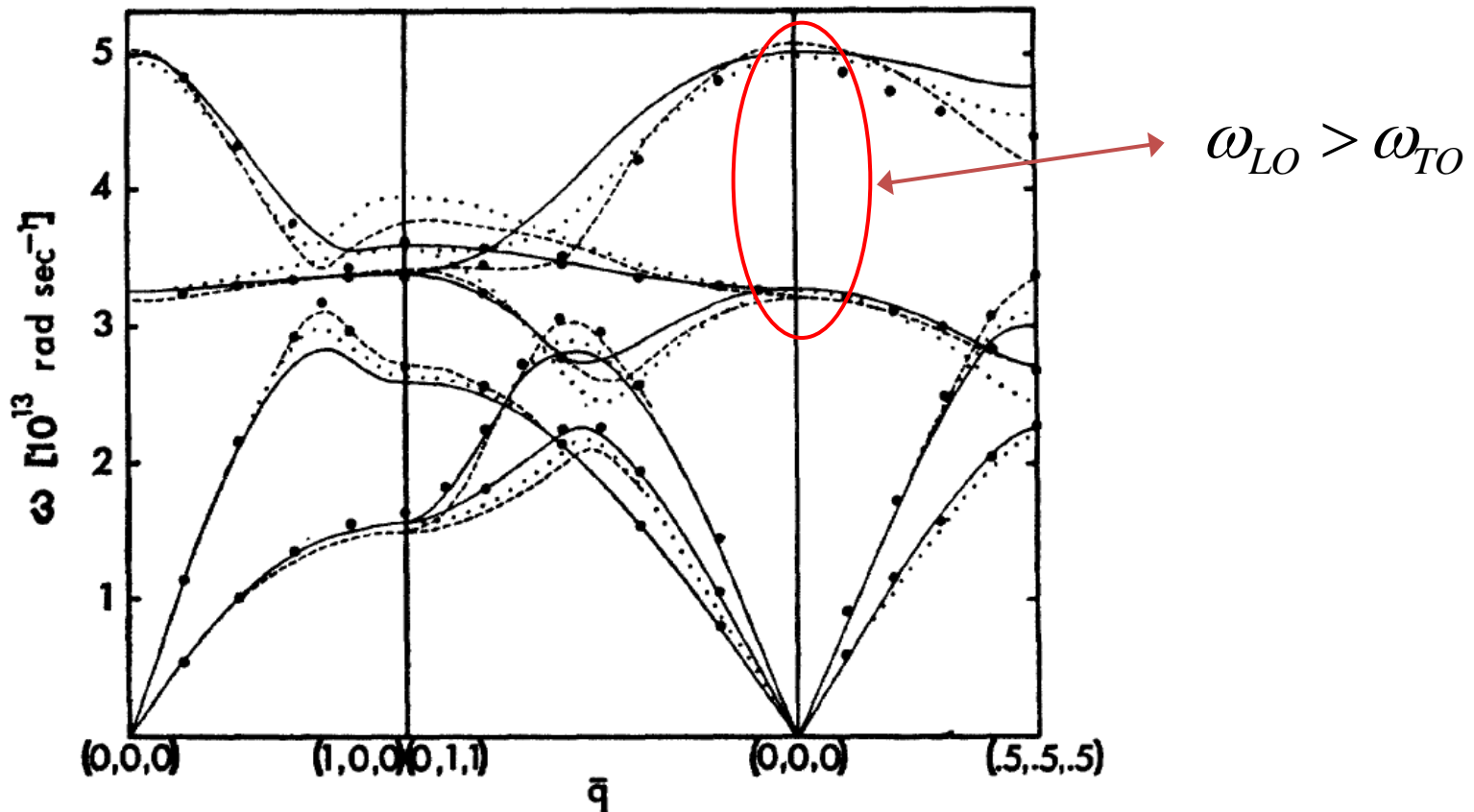
$$\omega_{LO} > \omega_{TO}$$



P. Giannozzi et al., *Physical Review B* **43**, 7231 (1991)

Drgania sieci krystalicznej, fonony

NaCl, $r = 2$

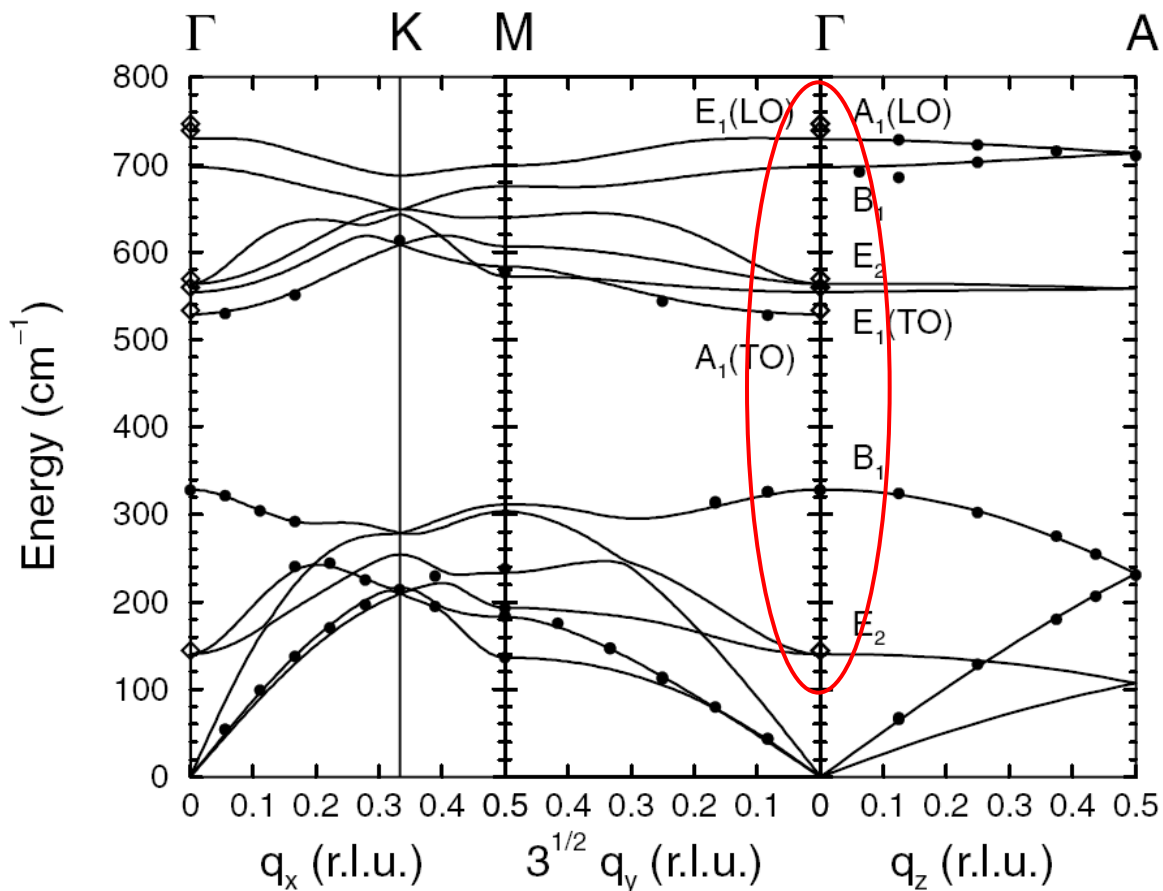


G. Raunio et al., *Physical Review* **178**, 1496 (1969)

Drgania sieci krystalicznej, fonony

GaN (wurcyt), $r = 4$

$8 \text{ cm}^{-1} \approx 1 \text{ meV}$



T. Ruf et al., *Physical Review Letters* **86**, 906 (2001)

Drgania sieci krystalicznej, fonony

Relacja Lyddane'a–Sachsa–Teller

$$\frac{\varepsilon(0)}{\varepsilon(\infty)} = \frac{\omega_{LO}^2}{\omega_{TO}^2}$$

gdzie $\varepsilon(0)$ i $\varepsilon(\infty)$ są niskoczęstościową i wysokoczęstościową stałą dielektryczną

Jedna z „dynamicznych” definicji ładunku efektywnego – efektywny, poprzeczny ładunek Borna:

$$e^* = \omega_{TO} \sqrt{\frac{\varepsilon_0 \mu}{N} [\varepsilon(0) - \varepsilon(\infty)]}$$

gdzie μ jest masą zredukowaną, a N – koncentracją drgających par atomów

Czym bardziej spolaryzowane wiązanie pomiędzy atomami, tym większa różnica pomiędzy ω_{LO} i ω_{TO}

POJEMNOŚĆ CIEPLNA SIECI KRYSTALICZNEJ

Pojemność cieplna sieci krystalicznej

- Doświadczalna obserwacja – w wysokich temperaturach molowe ciepło przy stałej objętości $C_V=3R$. Jest to zgodne z modelem klasycznym i zasadą ekwipartycji energii – prawo Dulonga-Petita ($\sim 3N_A$ jednowymiarowych oscylatorów na mol, na każdy wypada średnio kT energii \Rightarrow molowa pojemność cieplna $3RT$). Jednak w niskich temperaturach $T \rightarrow 0$ w niemetalech $C_V \sim T^3$ (a prawo Dulonga-Petita przewiduje $C_V = \text{const}$)

- Wkład fononów do energii wewnętrznej (na jednostkę objętości, bo $\rho(\vec{q})$ jest liczone na jednostkę objętości):

$$U(T) = \sum_s \int_{1SB} \hbar \omega_s(\vec{q}) \langle n_{s\vec{q}}(T) \rangle \rho(\vec{q}) d_3q \quad \text{gdzie } s \text{ numeruje gałęzie fononów}$$

- Znajomość relacji dyspersyjnych dla wszystkich gałęzi fononowych pozwala znaleźć fononowy wkład do $U(T)$ i ciepło przy stałej objętości liczone na jednostkę objętości:

$$C_V = \left(\frac{\partial U}{\partial T} \right)_V$$

Pojemność cieplna sieci krystalicznej

- Dwa proste analityczne modele fononowego wkładu do pojemności cieplnej sieci krystalicznej:

1. **Model Einsteina:** zbiór $3N$ oscylatorów kwantowych, wszystkie o jednakowej energii $\hbar\omega_0$ (model w przybliżeniu słuszny dla fononów optycznych dla których $\omega(\vec{q}) \approx const$)

$$U(T) = 3N \cdot \hbar\omega_0 \cdot \langle n(T) \rangle = 3N \cdot \hbar\omega_0 \cdot \frac{1}{e^{\frac{\hbar\omega_0}{kT}} - 1}$$

jeśli wziąć $N=N_A$, to molowe ciepło:

$$C_V = 3R \cdot \frac{x^2 e^x}{(e^x - 1)^2} \xrightarrow[\substack{x \rightarrow 0 \\ (T \rightarrow \infty)}]{} 3R \quad \text{gdzie} \quad x = \frac{\hbar\omega_0}{kT}$$

w ten sposób odtwarzamy prawo Dulonga-Petita, ale w niskich temperaturach otrzymuje się zależność szybszą niż doświadczalna !

Pojemność cieplna sieci krystalicznej

2. **Model Debye'a**: fonony akustyczne z uproszczoną (liniową) dyspersją:

$$\omega_{TA} = u_T q \quad (2 \text{ gałęzie})$$

$$\omega_{LA} = u_L q \quad (1 \text{ gałąź})$$

- **gęstość stanów** na jednostkę częstości, na jednostkę objętości, na jedną (i-tą) gałąź:

$$\rho(\omega_i) d\omega_i = \rho_q(\vec{q}_i) d_3 q_i = \frac{1}{(2\pi)^3} 4\pi q_i^2 dq_i = \frac{1}{2\pi^2} \frac{\omega_i^2}{u_i^3} d\omega_i$$

- wszystkie 3 gałęzie (zakładając degenerację obu gałęzi poprzecznych):

$$\rho(\omega) = \frac{\omega^2}{2\pi^2} \cdot \left(\frac{2}{u_T^3} + \frac{1}{u_L^3} \right) \equiv \frac{3\omega^2}{2\pi^2} \cdot \frac{1}{u^3}$$

u jest pewną średnią prędkością

Pojemność cieplna sieci krystalicznej

- Założenie sferycznej symetrii relacji dyspersyjnych zmusza do ograniczenia się do obszaru $\omega \leq \omega_{\max}$, tak aby całkowita liczba (koncentracja) stanów fononowych wyniosła $3N$:

$$3N = \int_0^{\omega_{\max}} \rho(\omega) d\omega = \frac{1}{2\pi^2} \cdot \frac{\omega_{\max}^3}{u^3}$$

stąd: $\omega_{\max} = \sqrt[3]{6\pi^2 N} \cdot u$

oraz *definicja temperatury Debye'a*: $\Theta = \frac{\hbar\omega_{\max}}{k} = \sqrt[3]{6\pi^2 N} \cdot \frac{\hbar u}{k}$

- *Wkład fononów do energii wewnętrznej* (na jednostkę objętości):

$$U(T) = \int_0^{\omega_{\max}} \hbar\omega \cdot \rho(\omega) \cdot \langle n(\omega, T) \rangle d\omega = \frac{3}{2\pi^2} \cdot \frac{\hbar}{u^3} \int_0^{\omega_{\max}} \frac{\omega^3}{e^{\frac{\hbar\omega}{kT}} - 1} d\omega$$

Pojemność cieplna sieci krystalicznej

- Zamiana zmiennych: $x = \frac{\hbar\omega}{kT}$

$$U(T) = \frac{3}{2\pi^2} \cdot \frac{\hbar}{u^3} \cdot \left(\frac{kT}{\hbar}\right)^4 \cdot \int_0^{\Theta/T} \frac{x^3}{e^x - 1} dx = \frac{3}{2\pi^2} \cdot T^4 \cdot \left(\frac{k}{\hbar u}\right)^3 \cdot \int_0^{\Theta/T} \frac{x^3}{e^x - 1} dx$$

i wreszcie, wykorzystując związek: $\Theta = \sqrt[3]{6\pi^2 N} \cdot \frac{\hbar u}{k}$

otrzymujemy:

$$U\left(\frac{T}{\Theta}\right) = 9Nk\Theta \cdot \left(\frac{T}{\Theta}\right)^4 \cdot \int_0^{\Theta/T} \frac{x^3}{e^x - 1} dx$$

*wkład fononów
(akustycznych) do
energii wewnętrznej
wg. modelu Debye'a*

Pojemność cieplna sieci krystalicznej

a) *niskie temperatury $T \ll \Theta$:*

$$U\left(\frac{T}{\Theta}\right) \approx 9Nk\Theta \cdot \left(\frac{T}{\Theta}\right)^4 \cdot \int_0^{\infty} \frac{x^3}{e^x - 1} dx = 9Nk\Theta \cdot \left(\frac{T}{\Theta}\right)^4 \cdot \frac{\pi^4}{15} \propto T^4$$



$$C_V \propto T^3$$

zgodnie z doświadczeniem

b) *wysokie temperatury $T \gg \Theta$:*

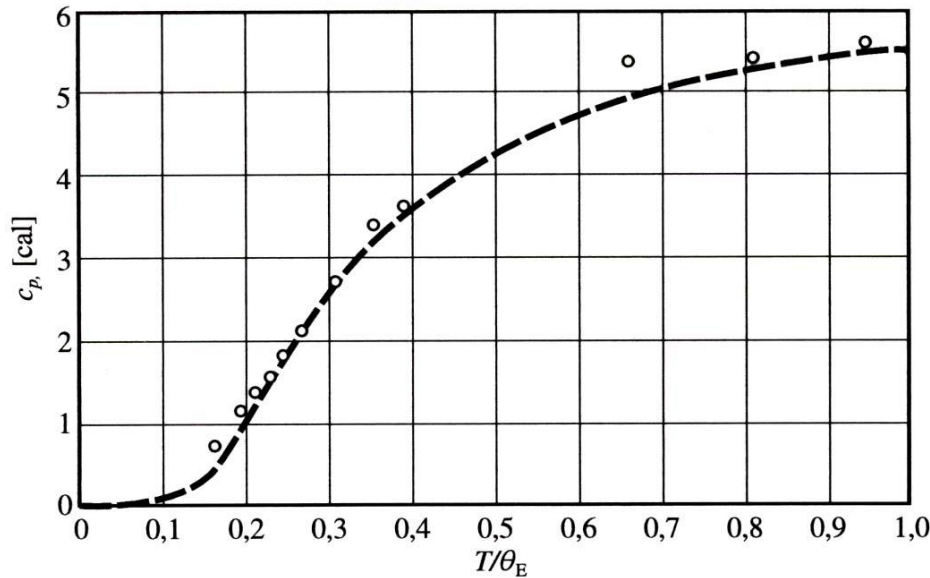
wtedy w całym obszarze całkowania $x \ll 1$ i:

$$U\left(\frac{T}{\Theta}\right) \approx 9Nk\Theta \cdot \left(\frac{T}{\Theta}\right)^4 \cdot \int_0^{\Theta/T} \frac{x^3}{1+x-1} dx = 9Nk\Theta \cdot \left(\frac{T}{\Theta}\right)^4 \cdot \frac{1}{3} \left(\frac{\Theta}{T}\right)^3 = 3NkT$$

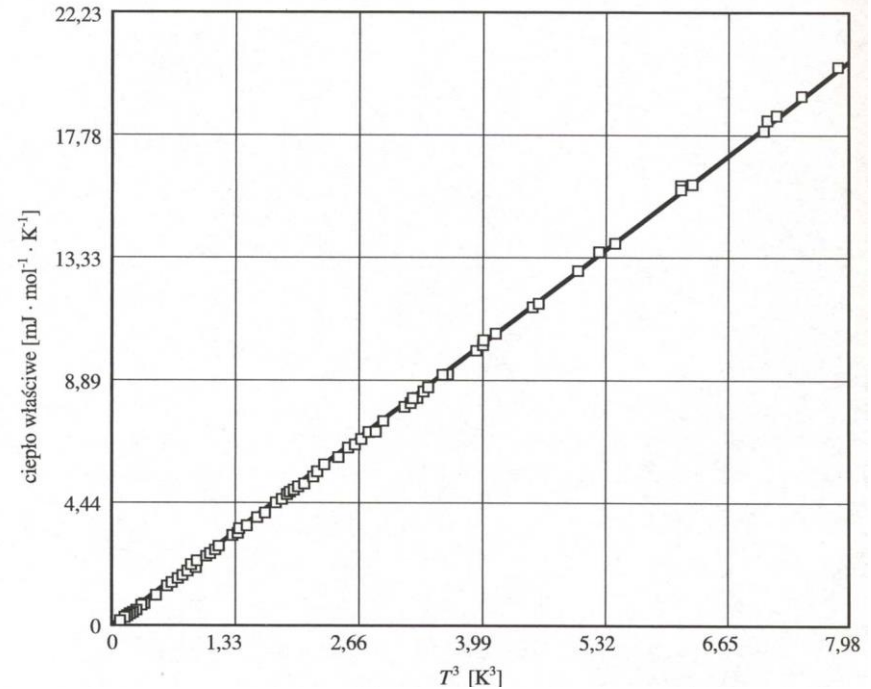
$$C_V = 3R$$

prawo Dulonga-Petita, jeśli obliczymy U dla N_A oscylatorów

Pojemność cieplna sieci krystalicznej



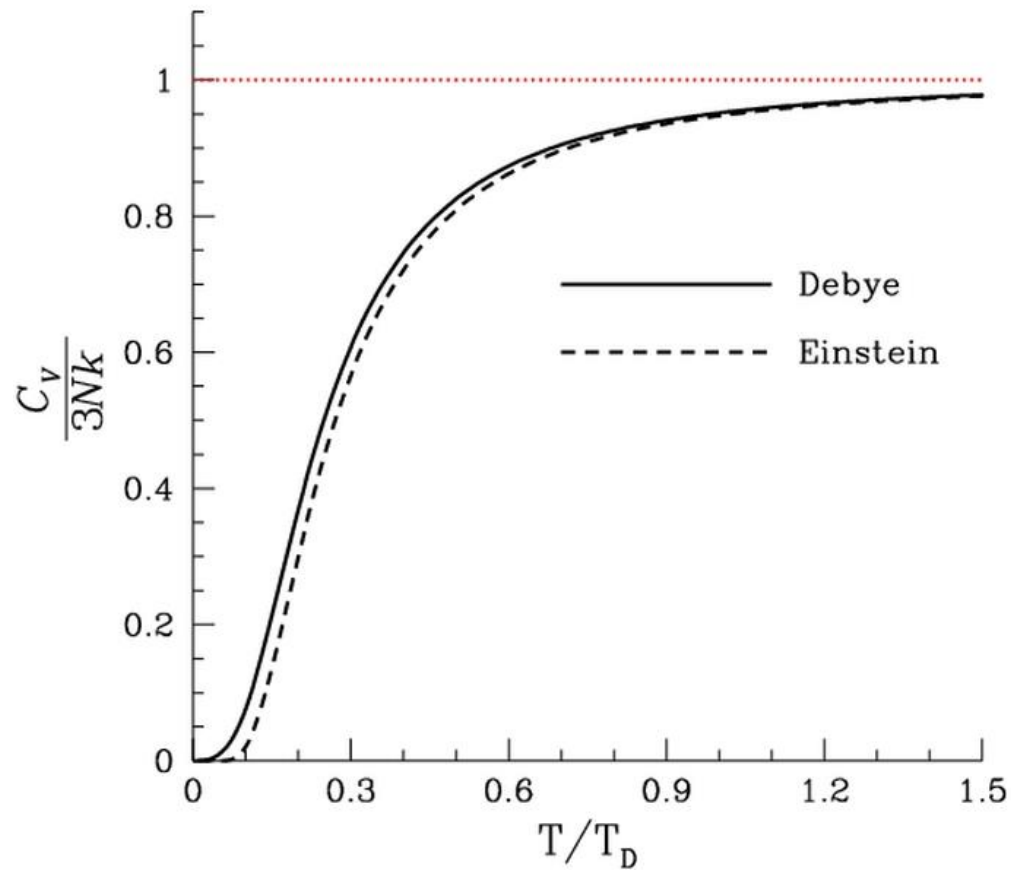
diament, linia – model Einsteina



stały argon, linia – model Debye'a

Ch. Kittel, „Wstęp do fizyki ciała stałego”

Pojemność cieplna sieci krystalicznej



Wikipedia

Uwaga na skale! Model Debye'a działa też w wysokich temperaturach